

ANÁLISE DA CONSTANTE DIELÉTRICA ATRAVÉS DO MODELO HARMÔNICO XII INIC / VIII EPG - UNIVAP 2008

Maira Gaspar Tosato¹; Ivan F. Lupiano Dias², Airton A. Martin³

¹Universidade do Vale do Paraíba/ Mestranda em Engenharia Biomédica, Av. Shishima Hifumi, 2911 – Urbanova - São José dos Campos - SP, e-mail: mgtosato@univap.br

²Universidade Estadual de Londrina/ Departamento de Física, Rodovia Celso Garcia Cid Pr 445 Km 380 - Campus Universitário - Londrina – PR, e-mail: idias@uel.br

³Universidade do Vale do Paraíba/ Instituto de Pesquisa e Desenvolvimento, Av. Shishima Hifumi, 2911 – Urbanova - São José dos Campos - SP, e-mail: amartin@univap.br

Resumo- Os materiais dielétricos apresentam a propriedade de se polarizarem sob a ação de um campo elétrico externo. O grau de polarização depende do campo elétrico aplicado e das propriedades do material. O comportamento dielétrico de um material pode ser especificado por um coeficiente adimensional denominado constante dielétrica relativa. Um modelo de oscilador harmônico é usado para explicar o comportamento desta constante. Neste trabalho desenvolveu-se um estudo do modelo do oscilador harmônico forçado e amortecido para discutir a resposta do material à ação da radiação eletromagnética. Os resultados indicaram que algumas características das propriedades microscópicas dos materiais são ilustradas pelo modelo simples do oscilador harmônico.

Palavras-chave: Oscilador Harmônico, Constante dielétrica, Polarização

Área do Conhecimento: Ciências Exatas e da Terra

Introdução

Sabe-se que a matéria é constituída de átomos e moléculas e estas são compostas de partículas carregadas. Átomos e moléculas, sob determinadas condições, podem se agrupar formando cristais com diferentes propriedades elétricas e ópticas. Estes cristais com relação às suas propriedades elétricas podem ser classificados em condutores e não condutores. Os materiais não condutores são também denominados dielétricos (HALLIDAY; RESNICK; WALKERS, 1993). Neste trabalho estuda-se o comportamento dos materiais dielétricos e semicondutores de importante emprego na indústria optoeletrônica. Dois importantes parâmetros físicos destes materiais são a constante dielétrica e a permeabilidade magnética. A constante dielétrica determina como uma substância interage com um campo elétrico e a permeabilidade determina como ela interage com um campo magnético. Uma vez que radiação eletromagnética contém tanto um campo elétrico quanto um campo magnético, a constante dielétrica e a permeabilidade entre esses campos, determina como o material interage com a luz. A constante dielétrica é definida como o quociente entre a permissividade elétrica de um meio e a do vácuo.

A permissividade elétrica é determinada pela capacidade de um material polarizar-se em resposta a um campo elétrico aplicado.

A constante dielétrica depende da distribuição

de cargas no material e inicialmente desenvolve-se as polarizações iônica e eletrônica. O objetivo deste trabalho é desenvolver um estudo do modelo do oscilador harmônico amortecido para explicar as propriedades da constante dielétrica, sob a ação de um campo elétrico.

Metodologia

O estudo da polarização eletrônica e iônica se fez necessário uma vez que, aplicando-se um campo elétrico em um dielétrico, ocorre indução de dipolos elétricos no material e/ou o alinhamento dos dipolos já presentes no material. Na figura 1 considerou-se um átomo idealizado de raio R sob a ação de um campo elétrico variável **E**. A força que atua nas cargas (**-q** e **+q**) do átomo, empregando-se a Lei de Coulomb, é dada por (BERCKELEY, 1973):

$$F_2 = \left(\frac{(Ze)^2}{4\pi\epsilon_0 R^3} \right) r \quad (1)$$

onde a carga $q=Ze$, sendo Z o número atômico, e o valor da carga do elétron igual a $1,6 \cdot 10^{-19}$ C e ϵ_0 a constante elétrica dada por $8,85 \cdot 10^{-12}$ C² N⁻¹ m⁻².

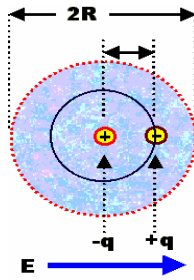


Figura 1: Átomo neutro com os centros de cargas deslocados

A equação (1) pode ser comparada à força elástica de um oscilador harmônico dado por (SYMON, 1986):

$$F_3 = Kr \quad (2)$$

onde K e r são, respectivamente, a constante elástica e o deslocamento da mola.

Para materiais com caráter iônico, os momentos de dipolo são gerados por um deslocamento dos íons a partir de sua posição inicial. Considera-se um cristal iônico, como por exemplo, o cloreto de sódio (NaCl). A rede cristalina sofrerá uma pequena distorção com a aplicação de um campo elétrico, devido os íons serem atraídos em direções opostas. A seguir, a figura 2 apresenta um esquema do deslocamento dos íons:

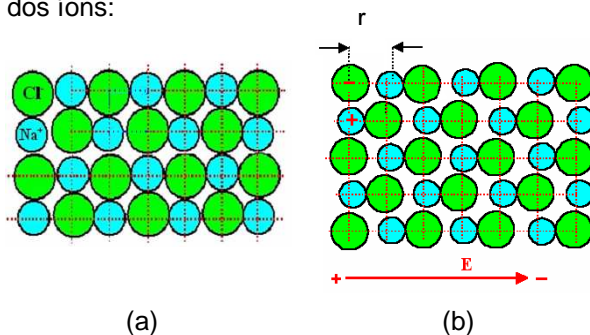


Figura 2: (a) Arranjo de um cristal iônico sem aplicação do campo elétrico; (b) Distorção da rede cristalina após a aplicação de um campo elétrico.

A distância de equilíbrio neste caso é dada em função da constante elástica da mola, K , permitindo usar o modelo do oscilador harmônico.

$$r = \frac{qE}{K} \quad (3)$$

Considerando-se um material real onde existe força de atrito, a incidência de uma radiação eletromagnética com campo elétrico $E = E_0 e^{-i\omega t}$, encontra-se a equação do movimento dada por:

$$m \frac{d^2 r}{dt^2} + b \frac{dr}{dt} + Kr = qE_0 e^{-i\omega t} \quad (4)$$

onde m é a massa da partícula, ω é a frequência de oscilação do sistema e $b = \gamma m$ sendo γ o coeficiente de amortecimento. A solução geral da equação (4) é dada pela relação (SYMON, 1986):

$$r(t) = r_0 e^{-i\omega t} \quad (5)$$

Usando-se o modelo do oscilador harmônico simples, pode-se determinar a frequência natural do sistema, $\omega_0 = (k/m)^{1/2}$, e considerando $\gamma = b/m$ encontra-se a seguinte relação:

$$r_0(\omega) = \frac{qE_0}{m[(\omega_0^2 - \omega^2) - i\gamma\omega]} \quad (6)$$

Multiplicando-se a equação (6) pelo seu complexo conjugado e separando as partes real e imaginária obteve-se:

$$r_0(\omega) = \frac{qE_0}{m} \left[\frac{\omega_0^2 - \omega^2}{(\omega_0^2 - \omega^2)^2 + (\gamma\omega)^2} + i \frac{\gamma\omega}{(\omega_0^2 - \omega^2)^2 + (\gamma\omega)^2} \right] \quad (7)$$

A polarização de um material pode ser dada em função da amplitude ($r(\omega)$) e do momento de dipolo ($p(r(\omega))$). Se existirem N moléculas por unidade de volume do dielétrico, e cada uma possui um momento de dipolo qr , substitui-se a equação (6) em função do momento de dipolo e chega-se a:

$$p = \frac{q^2 E_0}{m} \frac{1}{[(\omega_0^2 - \omega^2) - i\gamma\omega]} \quad (8)$$

Se o momento de dipolo for substituído na equação da polarização encontra-se:

$$P = N \frac{q^2 E_0}{m} \frac{1}{(\omega_0^2 - \omega^2 - i\gamma\omega)} \quad (9)$$

A polarização também pode ser escrita por uma relação constitutiva:

$$P = \chi \epsilon_0 E \quad (9.1)$$

onde χ é a susceptibilidade elétrica e pode ser encontrada comparando-se as equações (9) e (9.1) onde determina-se a frequência de plasma (FRENCH, 1971):

$$\omega_p^2 = \frac{Nq^2}{m\epsilon_0} \quad (9.2)$$

Através da susceptibilidade elétrica e da polarização, determina-se a equação para a função dielétrica visto que ela é escrita como:

$$\varepsilon = 1 + \chi \quad (10)$$

Substituindo-se o valor de χ na equação (10), multiplicando-a pelo seu complexo conjugado e separando as partes real e imaginária determina-se a função dielétrica:

$$\varepsilon(\omega) = 1 + \frac{\omega_p^2(\omega_0^2 - \omega^2)}{(\omega_0^2 - \omega^2)^2 + (\gamma\omega)^2} + i \frac{\omega_p^2\gamma\omega}{(\omega_0^2 - \omega^2)^2 + (\gamma\omega)^2} \quad (10.1)$$

Para as análises da função dielétrica, dada pela relação (10.1), pode-se usar o modelo do oscilador harmônico forçado com amortecimento uma vez que

Resultados

Considerando inicialmente a relação (5) onde a amplitude r_0 é uma função complexa, há uma diferença de fase, dada pelo ângulo θ , entre r_0 e o campo elétrico (E) fazendo-se uma análise matemática onde $e^{i\theta} = \cos\theta + i\sin\theta = e^{-i(\omega t)}$. Chega-se às equações:

$$|r_0| = \frac{qE_0}{m} \frac{1}{\left[(\omega_0^2 - \omega^2)^2 + (\gamma\omega)^2 \right]^{1/2}} \quad (11)$$

e

$$\theta = \arctg \frac{\gamma\omega}{\omega_0^2 - \omega^2} \quad (12)$$

Derivando-se as relações (11) e (12), obtiveram-se os gráficos para a amplitude e para a fase representados nas figuras 3 e 4:

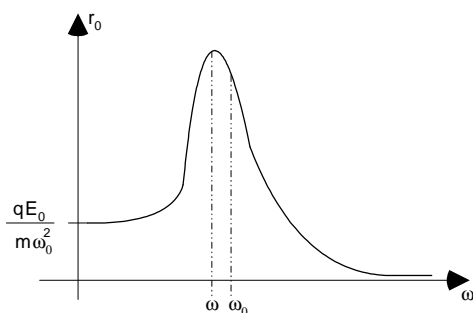


Figura 3: Curva de ressonância para amplitude r_0 .

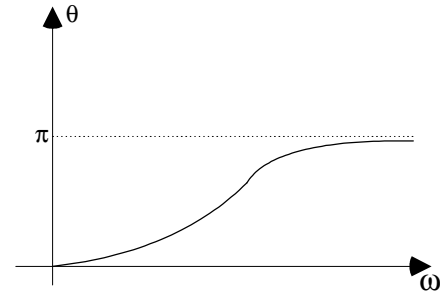


Figura 4: Curva de ressonância para a fase θ .

O oscilador harmônico amortecido é caracterizado por dois parâmetros: a constante ω_0 (frequência natural) e γ (coeficiente de amortecimento). Alguns textos estabelecem uma relação entre estes parâmetros de acordo com (FRENCH, 1971):

$$Q = \frac{\omega_0}{\gamma} \quad (13)$$

onde Q é um número puro denominado fator de qualidade. Substituindo nas relações (11) e (12) o coeficiente de amortecimento por $\gamma = \omega_0/Q$ obtém-se:

$$r_0(\omega) = \frac{qE_0}{m} \frac{1}{\left[(\omega_0^2 - \omega^2)^2 + \left(\frac{\omega\omega_0}{Q} \right)^2 \right]^{1/2}} \quad (14)$$

$$\theta(\omega) = \arctg \frac{\omega\omega_0}{Q(\omega_0^2 - \omega^2)} \quad (14.1)$$

Considerando alguns valores numéricos para Q , obtiveram-se as curvas visualizadas na figura 5 e 6: (FRENCH, 1971):

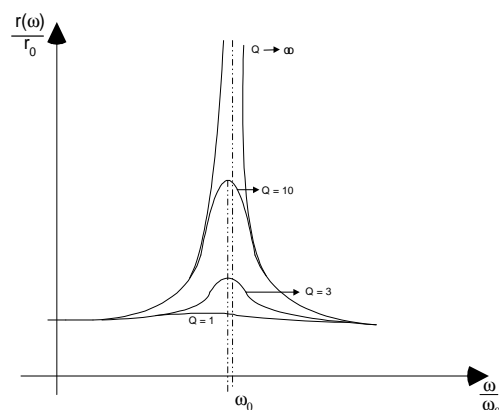


Figura 5: Razão da amplitude em função da frequência para diferentes valores de Q , supondo a força de magnitude constante, mas frequência variável.

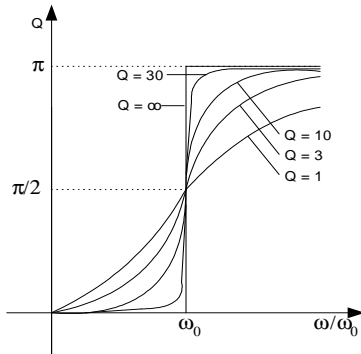


Figura 6: Fator de qualidade em função da frequência, supondo a força de magnitude constante, mas frequência variável.

Analisando-se a equação (7) onde as partes, real e imaginária são:

$$\text{Re } r_0(\omega) = \frac{qE_0}{m} \left[\frac{\omega_0^2 - \omega^2}{(\omega_0^2 - \omega^2)^2 + (\gamma\omega)^2} \right] \quad (15)$$

$$\text{Im } r_0(\omega) = \frac{qE_0}{m} \left[\frac{\gamma\omega}{(\omega_0^2 - \omega^2)^2 + (\gamma\omega)^2} \right] \quad (16)$$

Avaliando-se as equações (15) e (16), obtiveram-se os gráficos e os sobrepôs conforme a figura 6:

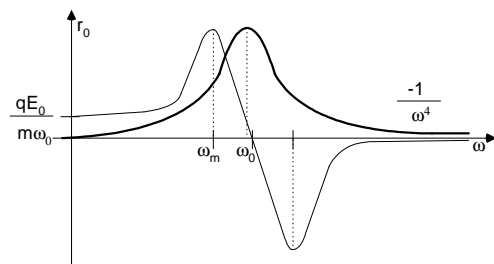


Figura 7: A curva com contorno grosso representa a parte imaginária da amplitude em função da frequência e a curva com contorno fino representa a parte real da amplitude em função da frequência.

Para a equação (10.1), fez-se a derivada e obtiveram-se dois gráficos de acordo com as figuras 8 e 9:

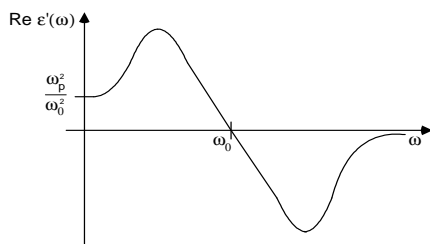


Figura 8: Curva da parte real da função dielétrica

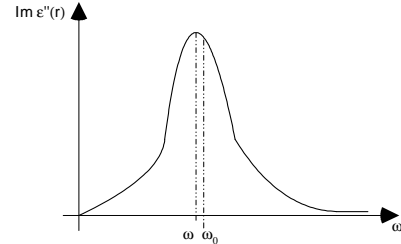


Figura 9: Curva da parte imaginária da função dielétrica

A constante dielétrica complexa $\epsilon_r = \epsilon_r' + i\epsilon_r''$ está acoplada, através de algumas soluções, ao índice de refração complexo (BOHREN, 1983):

$$N = n + i\kappa(\omega) \quad (17)$$

Discussão

Os átomos e moléculas que compõe os materiais, independentemente do estado físico em que se encontram, estão em constante vibração. Para aplicar-se o modelo do oscilador harmônico, considera-se uma molécula diatômica. Naturalmente a molécula apresenta uma frequência de vibração ω_0 . Quando se considera a radiação incidindo no material, a frequência de oscilação da molécula muda em consequência a amplitude do movimento se altera. A curva da figura 3 obtida para a expressão da amplitude máxima ($r_0(\omega)$) chega a um máximo num ponto pouco menor do que a frequência natural do sistema, ω_0 , e começa a decrescer novamente. Isto ocorre devido ao amortecimento que o sistema apresenta, ou seja, o movimento de uma partícula real, por exemplo, após sofrer um impulso inicial, como o campo elétrico aplicado, chega a uma amplitude máxima e então começa a diminuir devido ao atrito com outros átomos e moléculas do meio. A figura 4 que é a curva para a fase $\theta(\omega)$, aumenta continuamente da origem até 180° a qual passa a tender ao infinito. Exatamente em 90° a frequência angular é igual à frequência natural do sistema, ω_0 .

Analisando-se as equações (14) e (14.1) observa-se que para $\gamma \rightarrow \infty$, o fator qualidade tenderá a zero. Neste caso o amortecimento é tão grande que o movimento é quase nulo e assim pode-se comparar ao modelo de oscilador harmônico sem amortecimento. Para um sistema sem amortecimento ($\gamma = 0$) o fator qualidade na equação (13) tenderá ao infinito ($Q \rightarrow \infty$). Substituindo-se este valor de Q na equação (14.1) verifica-se que $\text{tg}\theta = 0$ então $\theta = 90^\circ$.

Na figura 7 pode-se observar que a curva $\text{Re } r_0(\omega)$ tem um ponto máximo para um valor menor do que ω_0 e um ponto mínimo para um valor maior do que ω_0 . Entre um máximo e o

mínimo a função decresce com o aumento da frequência e esta região é chamada de dispersão anômala. A curva da parte imaginária $\text{Im}r_0(\omega)$ apresenta um ponto máximo para um valor menor do que a frequência natural.

Para a análise das figuras 8 e 9, o tratamento das propriedades ópticas dos materiais considerando-os compostos por um conjunto de osciladores harmônicos em diferentes frequências, fornece resultados bastante próximos da realidade.

Os índices de refração n e de absorção k de um material, que juntos são chamados de constantes ópticas, são os parâmetros que determinam a interação entre a luz e o material numa interface descontínua. A relação entre a constante dielétrica e os índices de refração (n) e absorção (k) do material é diretamente proporcional.

Compreendendo, portanto, o comportamento dos osciladores harmônicos, pode-se descrever bem sobre as propriedades ópticas dos materiais, como a reflexão e a transmissão da luz.

Conclusão

Neste trabalho verificou-se que o estudo da constante dielétrica pode ser elaborado através de uma analogia com o oscilador harmônico forçado amortecido. Isto mostra que algumas características das propriedades microscópicas dos materiais são ilustradas pelo modelo simples do oscilador harmônico.

Para trabalhos futuros propõe-se o estudo detalhado de diferentes tipos de vibrações dos átomos.

Referências

-BERCKELEY, C. F. **Eletricidade e Magnetismo**, São Paulo: Ed. Edgard Blücher Ltda, 1973.

-BOHREN, C. F.; HUFFMAN, D. R. **Absorption and Scattering of Light by Small Particles**. EUA: John Wiley & Sons, 1983.

-FRENCH, A. P. **Vibrations and Waves**, New York: Ed. John Wiley, 1971.

-HALLIDAY; RESNICK; WALKERS. **Fundamentos de Física – Eletromagnetismo**. V.3, 4. ed. São Paulo: Ed. Mc Graw-Hill, 1993.

-SYMON, K.R. **Mecânica**. 2. ed. Rio de Janeiro: Ed. Campos, 1986.